

L'étoile variable Aquilae

Autor(en): **Tiercy, Georges**

Objektyp: **Article**

Zeitschrift: **Archives des sciences physiques et naturelles**

Band (Jahr): **12 (1930)**

PDF erstellt am: **10.08.2024**

Persistenter Link: <https://doi.org/10.5169/seals-741238>

Nutzungsbedingungen

Die ETH-Bibliothek ist Anbieterin der digitalisierten Zeitschriften. Sie besitzt keine Urheberrechte an den Inhalten der Zeitschriften. Die Rechte liegen in der Regel bei den Herausgebern.

Die auf der Plattform e-periodica veröffentlichten Dokumente stehen für nicht-kommerzielle Zwecke in Lehre und Forschung sowie für die private Nutzung frei zur Verfügung. Einzelne Dateien oder Ausdrucke aus diesem Angebot können zusammen mit diesen Nutzungsbedingungen und den korrekten Herkunftsbezeichnungen weitergegeben werden.

Das Veröffentlichen von Bildern in Print- und Online-Publikationen ist nur mit vorheriger Genehmigung der Rechteinhaber erlaubt. Die systematische Speicherung von Teilen des elektronischen Angebots auf anderen Servern bedarf ebenfalls des schriftlichen Einverständnisses der Rechteinhaber.

Haftungsausschluss

Alle Angaben erfolgen ohne Gewähr für Vollständigkeit oder Richtigkeit. Es wird keine Haftung übernommen für Schäden durch die Verwendung von Informationen aus diesem Online-Angebot oder durch das Fehlen von Informationen. Dies gilt auch für Inhalte Dritter, die über dieses Angebot zugänglich sind.

L'ÉTOILE VARIABLE η AQUILAE

PAR

Georges TIERCY

(Avec 8 fig.)

§ 1. — CLICHÉS ; DONNÉES NUMÉRIQUES ; PHASES.

1. — Les clichés utilisés portent les numéros suivants de la série d'Arcetri: E 13-15-19-21-23-29-45-47-51-62, et E 101-103-105-106-107_I-107_{II}-108-109-111-112-113-114-116-117-118-120-121-122-146.

Le premier groupe a été pris en 1924 par M. le Prof. G. Abetti; le second groupe en 1927 par moi-même.

2. — Les données numériques relatives à η Aquilae ont été tirées du catalogue de R. Prager; ce sont:

| | | |
|---|---------------------|--------------------------|
| { | Epoque (max. lum.): | 2414827 ^d ,15 |
| | Période | : 7 ^d ,176678 |
| | M — <i>m</i> | : 2 ^d ,273 |

L'époque, exprimée en temps moyen d'Arcetri, vaut

2414827^d,181265.

3. — Voici le tableau des phases des différents clichés.

Série 1924.

| Plaque | Date | Date julienne | Phase |
|--------|------------|---------------|-------|
| | | | d |
| E 13 | 27 juin | 2423964,538 | 1,446 |
| 15 | 3 juillet | 3970,515 | 0,246 |
| 19 | 5 juillet | 3972,462 | 2,193 |
| 21 | 6 juillet | 3973,456 | 3,187 |
| 23 | 10 juillet | 3977,443 | 7,174 |
| 29 | 20 juillet | 3987,420 | 2,798 |
| 45 | 31 juillet | 3998,660 | 6,861 |
| 47 | 5 août | 4003,446 | 4,470 |
| 51 | 7 août | 4005,500 | 6,524 |
| 62 | 23 sept. | 4021,420 | 0,914 |

Série 1927.

| Plaque | Date | Date julienne | Phase |
|------------------|------------|---------------|-------|
| | | | d |
| E 101 | 6 juin | 2425038,599 | 6,182 |
| 103 | 7 juin | 5039,528 | 7,111 |
| 105 | 9 juin | 5041,467 | 1,873 |
| 106 | 10 juin | 5042,487 | 2,893 |
| 107 ₁ | 17 juin | 5049,428 | 2,657 |
| 107 ₂ | 18 juin | 5050,467 | 3,696 |
| 108 | 19 juin | 5051,443 | 4,672 |
| 109 | 20 juin | 5052,443 | 5,672 |
| 111 | 21 juin | 5053,461 | 6,690 |
| 112 | 28 juin | 5060,455 | 6,508 |
| 113 | 29 juin | 5061,482 | 0,358 |
| 114 | 3 juillet | 5065,455 | 4,331 |
| 116 | 4 juillet | 5066,449 | 5,325 |
| 117 | 5 juillet | 5067,470 | 6,346 |
| 118 | 7 juillet | 5069,405 | 1,104 |
| 120 | 19 juillet | 5081,484 | 6,007 |
| 121 | 20 juillet | 5082,475 | 6,998 |
| 122 | 21 juillet | 5083,410 | 0,756 |
| 146 | 30 août | 5123,402 | 4,864 |

§ 2. — MESURES ; COURBE DE LUMIÈRE.

4. — Les spectres obtenus n'ont pas tous la même largeur ; on a donc commencé par ramener les durées de poses effectives à ce

qu'elles seraient si, sans rien changer par ailleurs aux spectres, toutes les largeurs étaient de 100 μ .

Série 1924.

| Plaque | Pose effective | Lar- geur du spectre | Pose pour 100 μ |
|--------|----------------|-------------------------------|---------------------------|
| | min. | μ | min. |
| E 13 | 4 | 210 | 2 |
| 15 | 4 | 320 | 1,3 |
| 19 | 4 | 162 | 2,5 |
| 21 | 4 | 160 | 2,5 |
| 23 | 3 | 136 | 2,2 |
| 29 | 3 | 142 | 2,1 |
| 45 | 5 | 225 | 2,2 |
| 47 | 2 | 148 | 1,4 |
| 51 | 5 | 587 | 1 |
| 62 | 6 | 230 | 2,6 |

Série 1927.

| Plaque | Pose effective | Lar- geur du spectre | Pose pour 100 μ |
|------------------|----------------|-------------------------------|---------------------------|
| | min. | μ | min. |
| E 101 | 6 | 140 | 4,3 |
| 103 | 4 | 188 | 2,1 |
| 105 | 8 | 178 | 4,5 |
| 106 | 6 | 230 | 2,6 |
| 107 ₁ | 8 | 90 | 1 |
| 107 ₂ | 8 | 210 | 4 |
| 108 | 8 | 168 | 4,8 |
| 109 | 8 | 162 | 5 |
| 111 | 12 | 276 | 4,7 |
| 112 | 8 | 305 | 2,6 |
| 113 | 8 | 292 | 2,7 |
| 114 | 8 | 200 | 4 |
| 116 | 8 | 146 | 5,4 |
| 117 | 8 | 240 | 3,3 |
| 118 | 8 | 206 | 3,9 |
| 120 | 8 | 203 | 3,9 |
| 121 | 8 | 238 | 3,3 |
| 122 | 8 | 175 | 4,6 |
| 146 | 8 | 168 | 4,7 |

Les valeurs indiquées dans la dernière colonne de chaque tableau respectivement sont celles qu'il faut prendre pour établir les tableaux des nos 6 et 7, où l'on a ramené les mesures à ce qu'elles seraient si les poses avaient été toutes égales à 3 minutes.

5. — La méthode a été exposée dans de précédents mémoires ¹; rappelons les formules à utiliser:

$$\left\{ \begin{array}{l} l' = l + (L^2 - l) \cdot (0,105) \cdot \frac{t' - t}{t}, \quad (\text{si } t' > t), \\ l' = l - (L^2 - l) \cdot (0,105) \cdot \frac{t - t'}{t'}, \quad (\text{si } t' < t); \end{array} \right.$$

¹ Archives (5), 10, p. 107 et p. 159 (1928); Publ. de l'Obs. de Genève, fasc. 2, 4, 5, 7.

l représente la valeur effectivement mesurée (largeur de raie, ou longueur d'une partie de spectre), l' la valeur réduite, t la pose effective, t' la pose uniforme choisie, et L^2 une constante. La constante a été prise égale à 6700 pour la partie du spectre située après la raie K du côté de l'ultra-violet; à 3000 pour la partie du spectre précédant la raie H_β du côté du rouge; à zéro pour les largeurs des raies.

Le raccord entre les mesures de 1927 et celles de 1924 a été effectué en prenant pour base une série d'études sur les spectres de quelques étoiles invariables de 5^{me} magnitude; les spectres obtenus en 1927 étaient plus courts que ceux obtenus en 1924, et les raies étaient plus larges; le raccord est donné par l'échelle suivante, où s désigne la longueur de la partie du spectre qui suit la raie K du côté du violet.

| | Moyenne pour les raies | Avant H_β | $s < 0$ | $0 < s < 1000 \mu$ | s de 1000 à 2000 μ | s de 2000 à 3000 μ | s de 3000 à 4000 μ | s de 4000 à 5000 μ | $s=6000$ |
|---------------------|------------------------|-----------------|------------|--------------------|------------------------|------------------------|------------------------|------------------------|----------|
| Pour ramener à 1924 | - 13% | + 30% | + 70 μ | + 100 μ | + 200 | + 320 | + 450 | + 580 | + 650 |

On a pu ramener ainsi toutes les mesures faites avec l'argenteure de 1927 à ce qu'elles auraient été si le miroir avait bénéficié d'une argenteure identique à celle de 1924.

Les plaques sont des « Capelli-blu », sauf E 45 et 62 qui sont des « Sensima ».

6. — *Calcul de d.* ($L = 6700 + 11780 + 3000 = 21480 \mu$)

Série 1924.

| Plaque | Pose (largeur 100 μ) | Mesures directes en μ | | Réduction à 3 minutes | | L - d | d | Remarques |
|--------|---------------------------|---------------------------|---------|-----------------------|---------|-------|------|-----------|
| | | avant H_β | après K | avant H_β | après K | | | |
| E 13 | min. 2 | 1902 | 4273 | 1957 | 4395 | 18132 | 3348 | |
| 15 | 1,3 | 2178 | 6394 | 2258 | 6425 | 20463 | 1017 | |
| 19 | 2,5 | 1435 | 4746 | 1470 | 4786 | 18036 | 3444 | |
| (21) | 2,5 | 995 | -600 | 1035 | -454 | 12361 | 9119 | (8119) |
| (23) | 2,2 | 1761 | 4610 | 1809 | 4690 | 18279 | 3201 | (1001) |
| 29 | 2,1 | 1940 | 3708 | 1988 | 3843 | 17611 | 3869 | |
| 45 | 2,2 | 2527 | 6216 | 2544 | 6235 | 20559 | 921 | |
| 47 | 1,4 | 1166 | -600 | 1360 | +150 | 13290 | 8190 | |
| 51 | 1 | 1569 | 3949 | 1783 | 4471 | 18034 | 3446 | |
| 62 | 2,6 | 2208 | 1892 | 2220 | 3870 | 17870 | 3610 | |

Les conditions de développement de (21) et (23) ont été mauvaises; il semble que le spectre de (21) ait de ce fait perdu environ 1000 μ , et celui de (23) environ 2200 μ ; on a tenu compte de ces corrections approximatives.

Série 1927.

| Plaque | Pose (largeur 100 μ) | Mesures directes | | Réd. à 3 minutes 1927 | | Réd. à 3 minutes 1924 | | L — d | d |
|------------|---------------------------------|------------------|------------|--------------------------|------------|--------------------------|------------|-------|------|
| | | avant H $_3$ | après K | avant H $_3$ | après K | avant H $_3$ | après K | | |
| E 101 $_1$ | 4,3 | 1907 | 4817 | 1858 | 4741 | 2416 | 5321 | 19517 | 1963 |
| 103 | 2,1 | 2176 | 5654 | 2213 | 5704 | 2876 | 6354 | 21010 | 470 |
| 105 | 4,5 | 1642 | 3800 | 1574 | 3650 | 2045 | 4100 | 17925 | 3555 |
| 106 | 2,6 | 1150 | 1762 | 1179 | 1838 | 1533 | 2038 | 15351 | 6129 |
| 107 $_1$ | 1 | 1910 | 4662 | 2072 | 4962 | 2693 | 5542 | 20015 | 1465 |
| 107 $_2$ | 4 | 974 | 0 | 903 | — 237 | 173 | — 167 | 12786 | 8694 |
| 108 | 4,8 | 1330 | 0 | 1226 | — 415 | 1595 | — 345 | 13030 | 8450 |
| 109 | 5 | 1230 | 0 | 1100 | — 469 | 1300 | — 399 | 12781 | 8699 |
| 111 | 4,7 | 1623 | 4612 | 1538 | 4546 | 2000 | 5126 | 18906 | 2574 |
| 112 | 2,6 | 1859 | 4752 | 1877 | 4782 | 2441 | 5362 | 19583 | 1897 |
| 113 | 2,7 | 2384 | 5636 | 2391 | 5649 | 3108 | 6299 | 21187 | 293 |
| 114 | 4 | 1329 | 647 | 1279 | 437 | 1663 | 537 | 13980 | 7500 |
| 116 | 5,4 | 1342 | 100 | 1203 | — 463 | 1563 | — 393 | 12950 | 8530 |
| 117 | 3,3 | 1890 | 4990 | 1879 | 4973 | 2443 | 5553 | 19776 | 1704 |
| 118 | 3,9 | 2278 | 5219 | 2255 | 5173 | 2933 | 5823 | 20536 | 944 |
| 120 | 3,9 | 1730 | 4430 | 1691 | 4400 | 2198 | 4980 | 18958 | 2522 |
| 121 | 3,3 | 2205 | 5320 | 2197 | 5306 | 2857 | 5956 | 20593 | 887 |
| 122 | 4,6 | 1640 | 3747 | 1571 | 3580 | 2042 | 4030 | 17852 | 3628 |
| 146 | 4,7 | 1364 | 100 | 1262 | — 290 | 1640 | — 220 | 13200 | 8280 |

7. — Calcul de t.

Série 1924.

| Plaque | Pose | Mesures directes | | | | | Réd. à 3 min. | | | | | Autres raies | | t |
|--------|------|------------------|---------------|---------------|-------|-------|---------------|---------------|---------------|-------|-------|-----------------|------------|------|
| | | H $_2$ | H $_{\gamma}$ | H $_{\delta}$ | H | K | H $_2$ | H $_{\gamma}$ | H $_{\delta}$ | H | K | avant H $_3$ | après K | |
| E 13 | 2 | 50 | 60 | 85 | 211 | 228 | 47 | 57 | 80 | 201 | 216 | 600 | 1320 | 2521 |
| 15 | 1,3 | 58 | 58 | 75 | 92 | 105 | 52 | 52 | 67 | 82 | 94 | 560 | 1600 | 2160 |
| 19 | 2,5 | 56 | 62 | 55 | 202 | 246 | 55 | 61 | 54 | 198 | 241 | 500 | 1600 | 2709 |
| (21) | 2,5 | large | 60 | flou | flou | — | (75) | 59 | (55) | (220) | — | 520 | — | 909 |
| (23) | 2,2 | 74 | 62 | 60 | 181 | 160 | 71 | 59 | 58 | 174 | 154 | 450 | 1180 | 2146 |
| 29 | 2,1 | 50 | 40 | 45 | 164 | 180 | 48 | 38 | 43 | 157 | 172 | 1000 | 1900 | 3358 |
| 45 | 2,2 | 77 | 60 | 60 | 110 | 130 | 74 | 58 | 58 | 106 | 125 | 760 | 1860 | 3041 |
| 47 | 1,4 | 65 | 60 | 64 | (550) | (275) | 58 | 53 | 57 | (500) | (250) | 1020 | 120 | 2058 |
| 51 | 1 | 40 | 70 | 50 | 165 | 212 | 34 | 60 | 42 | 141 | 181 | 710 | 1790 | 2958 |
| 62 | 2,6 | (60) | 55 | 55 | 193 | 278 | 59 | 54 | 54 | 190 | 274 | 550 | 970 | 1681 |

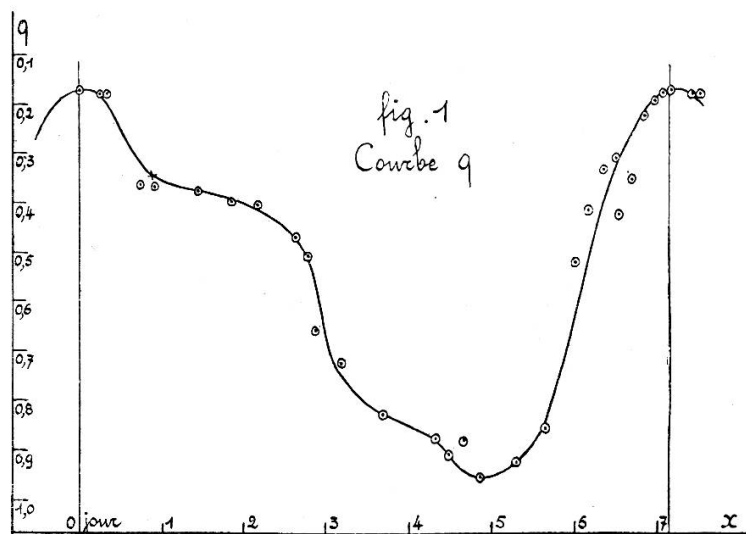
Série 1927.

| Plaque | Pose min. | Mesures directes | | | | | Réd. à 3 min. 1927 | | | | | Réd. à 3 min. 1924 | | | | | Autres raies | | t |
|-------------------|--------------|---------------------------------|----------------------------------|----------------------------------|-------|-----|---------------------------------|----------------------------------|----------------------------------|-----|-----|---------------------------------|----------------------------------|----------------------------------|-----|-----|--------------|------------|------|
| | | H _{β} | H _{γ} | H _{δ} | H | K | H _{β} | H _{γ} | H _{δ} | H | K | H _{β} | H _{γ} | H _{δ} | H | K | avant H | après K | |
| E 101 | 4,3 | 60 | 45 | 46 | 170 | 190 | 63 | 47 | 48 | 177 | 198 | 54 | 40 | 41 | 151 | 170 | 1200 | 2660 | 4316 |
| 103 | 2,1 | 55 | 62 | 60 | 150 | 179 | 53 | 59 | 57 | 143 | 171 | 45 | 51 | 49 | 122 | 146 | 720 | 1600 | 2733 |
| 105 | 4,5 | 68 | 70 | 100 | 242 | 251 | 71 | 74 | 105 | 254 | 264 | 61 | 64 | 90 | 217 | 226 | 600 | 1300 | 2558 |
| 106 | 2,6 | 45 | 88 | 92 | 256 | 265 | 44 | 87 | 90 | 252 | 261 | 38 | 75 | 77 | 216 | 223 | 780 | 1020 | 2429 |
| 107 _I | 1 | 42 | 80 | 78 | 180 | 198 | 36 | 68 | 66 | 154 | 169 | 31 | 58 | 56 | 132 | 145 | 1620 | 3324 | 5366 |
| 107 _{II} | 4 | (60) | 51 | 45 | (250) | — | 62 | 53 | 47 | 259 | — | 53 | 45 | 40 | 222 | — | 700 | — | 1060 |
| 108 | 4,8 | 65 | 54 | 40 | 289 | — | 69 | 58 | 43 | 307 | — | 59 | 49 | 37 | 263 | — | 1200 | — | 1608 |
| 109 | 5 | 70 | 60 | 55 | (300) | — | 75 | 64 | 59 | 321 | — | 65 | 55 | 50 | 275 | — | 780 | — | 1225 |
| 111 | 4,7 | 98 | 66 | 78 | 175 | 200 | 104 | 70 | 83 | 186 | 212 | 89 | 60 | 71 | 159 | 182 | 700 | 1800 | 3061 |
| 112 | 2,6 | 85 | 67 | 78 | 165 | 195 | 84 | 66 | 77 | 162 | 192 | 72 | 57 | 66 | 139 | 164 | 850 | 1850 | 3198 |
| 113 | 2,7 | 70 | 68 | 82 | 147 | 200 | 69 | 67 | 81 | 145 | 198 | 59 | 57 | 70 | 124 | 170 | 800 | 1600 | 2880 |
| 114 | 4 | 80 | 56 | 95 | 280 | 410 | 83 | 58 | 98 | 290 | 424 | 71 | 50 | 84 | 249 | 363 | 1340 | 380 | 2537 |
| 116 | 5,4 | 38 | 45 | 40 | 273 | 369 | 41 | 49 | 43 | 295 | 399 | 35 | 42 | 37 | 253 | 342 | 1100 | — | 1809 |
| 117 | 3,3 | 67 | 66 | 65 | 150 | 175 | 68 | 67 | 66 | 152 | 177 | 58 | 57 | 56 | 132 | 152 | 980 | 2220 | 3655 |
| 118 | 3,9 | 65 | 55 | 70 | 185 | 222 | 67 | 57 | 72 | 191 | 228 | 57 | 49 | 62 | 163 | 195 | 1020 | 2320 | 3866 |
| 120 | 3,9 | 60 | 70 | 50 | 182 | 214 | 62 | 72 | 52 | 187 | 220 | 53 | 62 | 44 | 160 | 189 | 1320 | 2990 | 4818 |
| 121 | 3,3 | 50 | 66 | 55 | 133 | 142 | 51 | 67 | 56 | 134 | 143 | 44 | 57 | 48 | 115 | 123 | 710 | 1500 | 2597 |
| 122 | 4,6 | 50 | 67 | 73 | 215 | 252 | 53 | 70 | 77 | 227 | 265 | 45 | 60 | 66 | 195 | 227 | 510 | 1000 | 2103 |
| 146 | 4,7 | (50) | 60 | 50 | 255 | 313 | 53 | 64 | 53 | 270 | 332 | 45 | 55 | 45 | 231 | 284 | 1200 | 360 | 2220 |

8. — Calcul du rapport q ; courbe q .

(L = 21480)

| Plaque | Phase | d | t | y | $x=L-y$ | $q = \frac{y}{x}$ | Remarques |
|-------------------|-------|------|------|-------|---------|-------------------|-------------------|
| E 15 | 0,246 | 1017 | 2160 | 3177 | 18303 | 0,174 | |
| 113 | 0,360 | 293 | 2880 | 3173 | 18313 | 0,174 | |
| 122 | 0,756 | 3628 | 2103 | 5731 | 15751 | 0,364 | |
| 62 | 0,914 | 3610 | 2151 | 5761 | 15721 | 0,366 | |
| 118 | 1,104 | 944 | 3866 | 4810 | 16670 | (0,289) | spectre très long |
| 13 | 1,446 | 3348 | 2521 | 5869 | 15611 | 0,376 | |
| 105 | 1,873 | 3555 | 2558 | 6113 | 15357 | 0,398 | |
| 19 | 2,193 | 3444 | 2709 | 6153 | 15337 | 0,401 | |
| 107 _I | 2,657 | 1465 | 5366 | 6831 | 14649 | 0,466 | |
| 29 | 2,798 | 3869 | 3358 | 7227 | 14253 | 0,508 | |
| 106 | 2,893 | 6129 | 2429 | 8558 | 12922 | 0,662 | |
| (21) | 3,187 | 8119 | 909 | 9028 | 12452 | 0,728 | |
| 107 _{II} | 3,696 | 8694 | 1060 | 9754 | 11726 | 0,832 | |
| 114 | 4,331 | 7500 | 2537 | 10037 | 11443 | 0,877 | |
| 47 | 4,470 | 8190 | 2058 | 10248 | 11232 | 0,912 | |
| 108 | 4,672 | 8450 | 1608 | 10058 | 11422 | (0,880) | |
| 146 | 4,864 | 8280 | 2220 | 10500 | 10980 | 0,957 | min. lum. |
| 116 | 5,325 | 8530 | 1809 | 10339 | 11141 | 0,928 | |
| 109 | 5,672 | 8699 | 1225 | 9924 | 11556 | 0,859 | |
| 120 | 6,007 | 2522 | 4818 | 7340 | 14140 | 0,519 | |
| 101 | 6,182 | 1963 | 4316 | 6279 | 15201 | 0,413 | |
| 117 | 6,346 | 1704 | 3655 | 5359 | 16121 | 0,332 | |
| 112 | 6,508 | 1897 | 3198 | 5095 | 16385 | 0,311 | |
| 51 | 6,534 | 3446 | 2958 | 6404 | 15076 | 0,425 | |
| 111 | 6,690 | 2574 | 3061 | 5635 | 15845 | 0,356 | |
| 45 | 6,861 | 921 | 3041 | 3962 | 17518 | 0,226 | |
| 121 | 6,998 | 887 | 2597 | 3484 | 17996 | 0,194 | |
| 103 | 7,111 | 470 | 2733 | 3203 | 18277 | 0,175 | |
| (23) | 7,174 | 1001 | 2146 | 3147 | 18353 | 0,171 | max. lum. |



La courbe que nous obtenons ainsi (fig. 1) présente, un peu avant le minimum de lumière, une seconde ondulation secondaire, analogue à celle que signalait C. Wylie (*Ap. Journal*, 1922).

9. — *Courbe de lumière.* — Les valeurs extrêmes adoptées pour la magnitude visuelle sont $3^m,70$ et $4^m,30$; et les spectres obtenus s'échelonnent du type A_8 au type G_5 .

Les valeurs de q trouvées au n° 8 conduisent alors au tableau suivant pour la variation de la magnitude

| Plaque | Phase | Courbe q | m | | Plaque | Phase | Courbe q | m |
|------------------|-------|---------------|------|-----------|---------|-------|---------------|------------------|
| | d | | m | | | d | | |
| E 15 | 0,246 | 0,176 | 3,71 | Min. lum. | 108 | 4,672 | 0,940 | 4,29 |
| 113 | 0,360 | 0,195 | 3,72 | | 146 | 4,864 | 0,957 | 4,30 |
| 122 | 0,756 | 0,315 | 3,81 | | 116 | 5,325 | 0,928 | 4,28 |
| 62 | 0,914 | 0,350 | 3,84 | | 109 | 5,672 | 0,850 | 4,22 |
| 118 | 1,104 | 0,365 | 3,85 | | 120 | 6,007 | 0,650 | 4,07 |
| 13 | 1,446 | 0,380 | 3,86 | | 101 | 6,182 | 0,525 | 3,97 |
| 105 | 1,873 | 0,398 | 3,87 | | 117 | 6,346 | 0,450 | 3,91 |
| 19 | 2,193 | 0,405 | 3,88 | | 112 | 6,508 | 0,365 | 3,85 |
| 107 ₁ | 2,657 | 0,466 | 3,93 | | 51 | 6,524 | 0,335 | 3,83 |
| 29 | 2,798 | 0,520 | 3,97 | | 111 | 6,690 | 0,290 | 3,79 |
| 106 | 2,893 | 0,625 | 4,05 | | 45 | 6,861 | 0,220 | 3,74 |
| 21 | 3,187 | 0,730 | 4,13 | | 121 | 6,998 | 0,190 | 3,71 |
| 107 ₂ | 3,696 | 0,825 | 4,20 | | 103 | 7,111 | 0,175 | 3,70+ ϵ |
| 114 | 4,331 | 0,880 | 4,24 | | 23 | 7,174 | 0,171 | 3,70 |
| 47 | 4,470 | 0,912 | 4,27 | | Max. l. | | | |

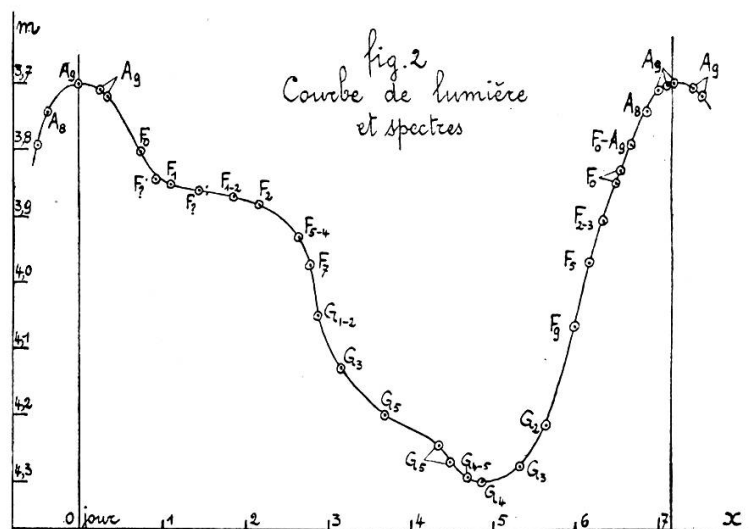
La courbe de lumière ainsi trouvée est donnée par la figure 2; on y a ajouté l'indication des types spectraux correspondant aux différents clichés.

Il y a accord avec la phase moyenne admise pour le minimum de lumière ($4^d,90$); celui-ci semble en effet suivre de très près le cliché E 146.

Quant à la principale ondulation secondaire, elle se réduit à la présence de trois points d'inflexion, entre les phases $0^d,4$ et 3^d ; mais il n'y a pas de maximum secondaire. C'est, à très peu près, ce que trouve G. HORNIG (A. N. 4808; 1915); M. LUIZET (A. N. 3911; 1903) et M. NIJLAND (*Travaux de l'Institut d'Utrecht*, 1923) trouvent un très faible maximum secondaire vers la phase $2^d,1$; M. Ch. WYLIE (*Astrophysical Journal*, 56, 1922) obtient une

ondulation dont la tangente au point d'inflexion intermédiaire est parallèle à l'axe des x ; la phase de ce point d'inflexion central est à peu près 2^d (il faut ajouter que la courbe de M. C. Wylie est une courbe photoélectrique); signalons encore la courbe « photographique » de M. A. KOHLSCHÜTTER (A. N. 4385; 1910), dont l'ondulation secondaire est plus faible. Toutes ces courbes présentent, en somme, la même allure que celle de la figure (2) précédente.

Par contre, les courbes données par M. W. SCHUR (A. N., 3282; 1895), par M. VAN DER BILT (*Institut d'Utrecht*, 1902),



par E. PICKERING (*Harvard Annals*, 1903), par E. LAU (*Bull. astron.*, 1908), par L. TERKAN (A. N. 4011; 1905) présentent des allures très différentes de celle de la figure (2); la courbe de Van der Bilt ne comporte aucune ondulation secondaire; l'ondulation secondaire de la courbe de Pickering a une phase beaucoup plus tardive; les courbes de Schur, de Lau et de Terkan présentent des maximums secondaires très accentués.

Si l'on s'en tient aux résultats les plus récents (ceux de Hornig, de Nijland, de Wylie, de Kohlschütter, de Terkan), on constate qu'ils sont en accord avec la figure (2), sauf celui de Terkan (avec son gros maximum secondaire).

Nous adopterons, pour la suite de cette étude, la courbe de lumière donnée par la figure (2).

§ 3. — CALCUL DES RAYONS ; COURBE DE PULSATION.

10. — *Rayon R_1 au maximum de lumière.* — La magnitude absolue M_v approximative au maximum de lumière est de l'ordre de $-2,3$; M_v oscille donc entre $-2,3$ et $-1,7$; sa valeur moyenne est $-2,0$; on en déduit une valeur approchée $\mu = 6,1$ de la masse, en se basant sur les tableaux et le diagramme de M. Seares¹. D'autre part, si le Soleil, au lieu d'être du type spectral G_0 , était du type A_9 (type de η Aquilae à son maximum de lumière), sa magnitude visuelle absolue serait environ $+3,60$ au lieu de $+4,85$. On aurait ainsi, par comparaison avec l'étoile étudiée (comparaison de deux types A_9):

$$M'_s - (M_v)_1 = 3,60 + 2,30 = 5,90$$

$$\log \frac{E_1}{E_s} = (0,4) (5,90) = 2,360$$

$$\frac{E_1}{E_s} = 229 ; \quad R_1 = 15,1 .$$

On peut d'ailleurs écrire aussi:

$$(M_v)_1 = M'_s - 5 \log R_1$$

ce qui donne encore $R_1 = 15,1$.

Remarquons qu'on peut dès maintenant calculer la valeur de l'index de couleur I correspondant à la phase du maximum de lumière. Il suffit d'utiliser les formules et les courbes auxiliaires que nous avons données dans un précédent mémoire². On trouve:

$$I(A_9) = 0,29 ;$$

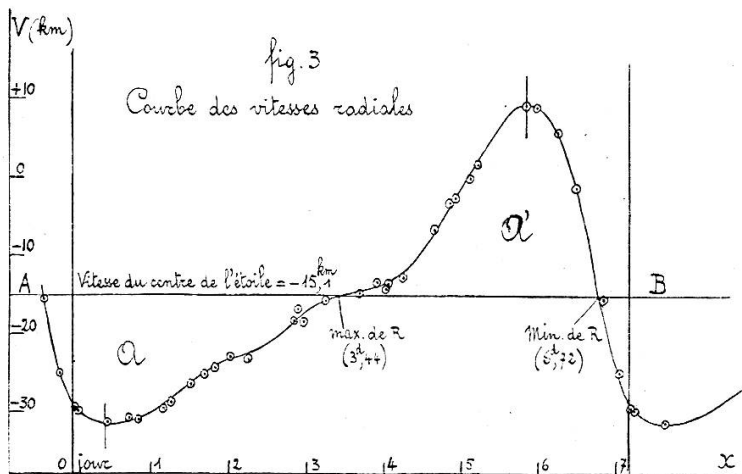
¹ *Astrophysical Journal*, 1922.

² *Archives* (5), 10, p. 363 (1928); *Publ. de l'Obs. de Genève*, fasc. 6.

11. — *Courbe des vitesses radiales.* — On a utilisé les données numériques de Jacobsen (*Lick bulletin*, 1926):

| Phase | V en km | Phase | V en km | Phase | V en km |
|-------|---------|-------|---------|-------|---------|
| d | | d | | d | |
| 0,033 | — 29,57 | 2,013 | — 22,83 | 4,642 | — 6,51 |
| 0,050 | — 29,96 | 2,282 | — 23,39 | 4,852 | — 3,67 |
| 0,454 | — 31,47 | 2,841 | — 18,01 | 4,930 | — 2,59 |
| 0,733 | — 30,61 | 2,857 | — 16,58 | 5,136 | — 0,17 |
| 0,831 | — 30,82 | 2,991 | — 18,33 | 5,229 | + 1,64 |
| 1,181 | — 29,85 | 3,262 | — 15,87 | 5,836 | + 9,10 |
| 1,293 | — 28,80 | 3,697 | — 14,66 | 5,996 | + 8,76 |
| 1,522 | — 26,32 | 3,900 | — 13,60 | 6,222 | + 5,63 |
| 1,702 | — 25,10 | 4,018 | — 14,25 | 6,483 | — 1,86 |
| 1,827 | — 24,19 | 4,053 | — 13,90 | 6,817 | — 15,80 |
| | | 4,242 | — 12,94 | 7,026 | — 24,85 |

d'où la courbe de la figure 3.



On remarquera qu'elle semble présenter des ondulations secondaires aux phases mêmes où la courbe de lumière en présente; par contre, ses sommets principaux sont quelque peu décalés à droite par rapport à ceux de la courbe de lumière. Il en est d'ailleurs de même, à peu près, si l'on utilise les données de W. H. WRIGHT (*Astrophysical Journal*, 1899).

12. — *Variation de R.* — On tire de la courbe précédente le premier tableau numérique que voici, où $V = -15,1$ est la vitesse du centre de gravité de l'étoile, et où v est la vitesse du centre du disque visuel par rapport au centre de gravité de l'étoile (v est négatif si le centre du disque visuel s'éloigne du

centre de gravité, dans la direction de l'observateur). La ligne AB de la figure (3) est placée de telle façon que les aires A et A' ont la même valeur.

| Phase | V + v | Intervalle de temps en sec. | v moy. dans l'interv. | Phase | V + v | Intervalle de temps en sec. | v moy. dans l'interv. |
|-------------|--------|-----------------------------|-----------------------|-------|--------|-----------------------------|-----------------------|
| d | km | | km | d | km | | km |
| 0 | — 29,6 | 17.280 | — 15,4 | 4,0 | — 14,0 | 17.280 | + 0,8 |
| 0,2 | — 31,4 | 17.280 | — 16,4 | 4,2 | — 13,0 | 17.280 | + 1,6 |
| 0,4 | — 31,6 | 17.280 | — 16,4 | 4,4 | — 11,2 | 17.280 | + 3,0 |
| 0,6 | — 31,4 | 17.280 | — 16,1 | 4,6 | — 8,4 | 17.280 | + 8,4 |
| 0,8 | — 31,0 | 17.280 | — 15,4 | 4,8 | — 5,0 | 17.280 | + 11,7 |
| 1,0 | — 30,0 | 17.280 | — 14,4 | 5,0 | — 1,8 | 17.280 | + 15,2 |
| 1,2 | — 29,0 | 17.280 | — 13,2 | 5,2 | + 2,0 | 17.280 | + 18,6 |
| 1,4 | — 27,6 | 17.280 | — 11,5 | 5,4 | + 5,0 | 17.280 | + 21,5 |
| 1,6 | — 25,6 | 17.280 | — 9,7 | 5,6 | + 7,8 | 17.280 | + 23,5 |
| 1,8 | — 24,0 | 17.280 | — 8,5 | 5,8 | + 9,0 | 17.280 | + 23,9 |
| 2,0 | — 23,2 | 17.280 | — 8,0 | 6,0 | + 8,6 | 8.640 | + 23,15 |
| 2,2 | — 23,0 | 17.280 | — 7,6 | 6,1 | + 7,5 | 8.640 | + 21,65 |
| 2,4 | — 22,4 | 17.280 | — 6,6 | 6,2 | + 5,6 | 17.280 | + 17,9 |
| 2,6 | — 21,0 | 17.280 | — 5,0 | 6,4 | 0 | 17.280 | + 10,9 |
| 2,8 | — 19,2 | 17.280 | — 3,1 | 6,6 | — 8,4 | 10.368 | + 3,35 |
| 3,0 | — 17,2 | 17.280 | — 1,5 | 6,72 | — 15,1 | 6.912 | — 0,65 |
| 3,2 | — 16,0 | 17.280 | — 0,5 | 6,8 | — 16,4 | 17.280 | — 6,1 |
| 3,4 | — 15,2 | 3.456 | — 0,05 | 7,0 | — 26,0 | 15.552 | — 12,7 |
| R max. 3,44 | — 15,1 | 13.824 | + 0,1 | 7,18 | — 29,8 | | |
| 3,6 | — 14,9 | 17.280 | + 0,35 | | | | |
| 3,8 | — 14,6 | | | | | | |

De ce premier tableau, on tire le suivant:

Valeurs des rayons R. ($R_1 = 15,1 R_s$; $R_s = 696\ 000$ km)

| Phase | ΔR de proche en proche | R en km | Phase | ΔR de proche en proche | R en km |
|--------------|--------------------------------------|------------|-------|--------------------------------------|------------|
| d | km | | d | km | |
| 0 | — | 10.509.600 | 4,0 | — 13.824 | 13.414.368 |
| | + 266.112 | | 4,2 | — 27.648 | 13.386.720 |
| 0,2 | — | 10.775.712 | 4,4 | — 51.840 | 13.334.880 |
| | + 283.392 | | 4,6 | — 91.584 | 13.243.296 |
| 0,4 | — | 11.059.104 | 4,8 | — 145.152 | 13.098.144 |
| | + 283.392 | | 5,0 | — 202.176 | 12.895.968 |
| 0,6 | — | 11.342.496 | 5,2 | — 262.656 | 12.633.312 |
| | + 278.208 | | 5,4 | — 321.408 | 12.311.904 |
| 0,8 | — | 11.620.704 | 5,6 | — 371.520 | 11.940.384 |
| | + 266.112 | | 5,8 | — 406.080 | 11.534.304 |
| 1,0 | — | 11.886.816 | 6,0 | — 412.992 | 11.121.312 |
| | + 248.832 | | 6,1 | — 200.016 | 10.921.296 |
| 1,2 | — | 12.135.648 | 6,2 | — 187.056 | 10.734.240 |
| | + 228.096 | | 6,4 | — 309.312 | 10.424.928 |
| 1,4 | — | 12.363.744 | 6,6 | — 188.352 | 10.236.576 |
| | + 198.720 | | 6,72 | — 34.733 | 10.201.843 |
| 1,6 | — | 12.562.464 | | + 4.493 | 10.206.336 |
| | + 167.616 | | 6,8 | + 105.408 | 10.311.744 |
| 1,8 | — | 12.730.080 | | + 197.856 | 10.509.600 |
| | + 146.880 | | 7,18 | | |
| 2,0 | — | 12.876.960 | | $\Sigma \Delta R = 0$ | |
| | + 138.240 | | | | |
| 2,2 | — | 13.015.200 | | | |
| | + 131.328 | | | | |
| 2,4 | — | 13.146.528 | | | |
| | + 114.048 | | | | |
| 2,6 | — | 13.260.576 | | | |
| | + 86.400 | | | | |
| 2,8 | — | 13.346.976 | | | |
| | + 53.568 | | | | |
| 3,0 | — | 13.400.544 | | | |
| | + 25.920 | | | | |
| 3,2 | — | 13.426.464 | | | |
| | + 8.640 | | | | |
| 3,4 | — | 13.435.104 | | | |
| | + 864 | | | | |
| R. max. 3,44 | — | 13.435.968 | | | |
| | — 1.728 | | | | |
| 3,6 | — | 13.434.240 | | | |
| | — 6.048 | | | | |
| 3,8 | — | 13.428.192 | | | |

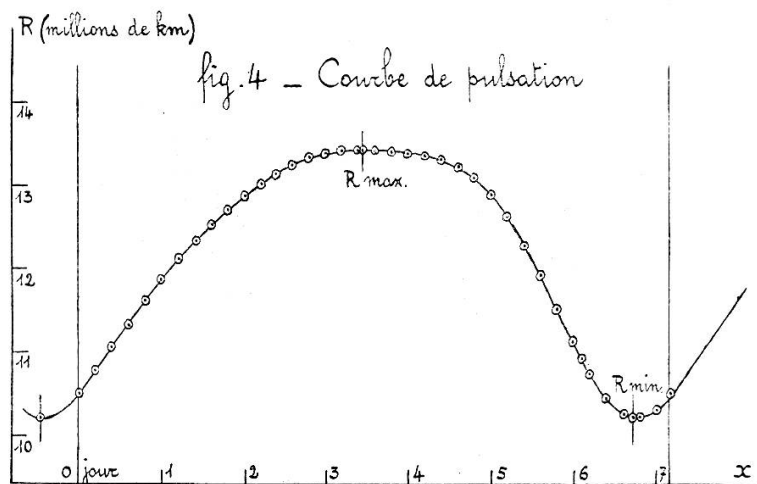
13. — *Courbe de pulsation* (fig. 4). — C'est la représentation graphique de la variation du rayon R.

De $R_{\max.}$ à $R_{\min.}$ il y a $3^d,3$; tandis qu'il s'écoule $3^d,9$ de $R_{\min.}$ à $R_{\max.}$; la courbe n'est donc pas parfaitement symétrique par rapport à un axe perpendiculaire à l'axe du temps et passant par le sommet $R_{\max.}$; cependant, elle est beaucoup plus régulière que la courbe de lumière; et l'on y fait encore une fois cette constatation que la masse de l'étoile met plus de temps à passer par les grandes valeurs de R qu'elle n'en met à passer par les valeurs inférieures à R moyen.

14. — *Valeurs de R relatives aux phases des clichés.* — On obtient dès lors sans peine les valeurs indiquées dans le tableau suivant, où le rayon solaire est pris pour unité.

| Plaque | Phase | $\frac{R}{(R_s = 1)}$ | Plaque | Phase | $\frac{R}{(R_s = 1)}$ |
|-------------------|-------|-----------------------|--------|-------|-----------------------|
| | d | | | d | |
| Max. lum. | 0 | 15,10 | 116 | 5,325 | 17,81 |
| E 15 | 0,246 | 15,58 | 109 | 5,672 | 16,90 |
| 113 | 0,360 | 15,75 | 120 | 6,007 | 15,86 |
| 122 | 0,756 | 16,61 | 101 | 6,182 | 15,46 |
| 62 | 0,914 | 16,86 | 117 | 6,346 | 15,06 |
| 118 | 1,104 | 17,25 | 112 | 6,508 | 14,82 |
| 13 | 1,446 | 17,84 | 51 | 6,524 | 14,75 |
| 105 | 1,873 | 18,35 | 111 | 6,690 | 14,67 |
| 19 | 2,193 | 18,74 | R min. | 6,720 | 14,66 |
| 107 _I | 2,657 | 19,16 | 45 | 6,861 | 14,72 |
| 29 | 2,798 | 19,20 | 121 | 6,998 | 14,83 |
| 106 | 2,893 | 19,24 | 103 | 7,111 | 14,96 |
| 21 | 3,187 | 19,29 | 23 | 7,174 | 15,10 |
| R max. | 3,440 | 19,31 | | | |
| 107 _{II} | 3,696 | 19,29 | | | |
| 114 | 4,331 | 19,11 | | | |
| 47 | 4,470 | 19,04 | | | |
| 108 | 4,672 | 18,94 | | | |
| Min. lum. | 146 | 4,864 | | | |

Le rayon oscille donc de 19,31 à 14,66; le rayon moyen R_m vaut ainsi 17.



§ 4. — INDEX DE COULEUR.

15. — Nous utiliserons ici les formules fondamentales approchées, que nous avons données dans un précédent mémoire¹:

$$\left. \begin{aligned} T(I - \alpha) &= 7200 & (1) \\ 0,819I &= \log R + 0,2M_v + 0,819\alpha - \frac{1}{5}(C_v + x_v) ; & (2) \end{aligned} \right\}$$

où l'on a:

$$\left\{ \begin{aligned} \alpha &= -\log \left[3,77 + 0,08s \cdot \left(\frac{3}{4} \right)^{\frac{s-5}{5}} \right] ; \\ C_v + x_v &= - (1,26) \cdot 10^{-0,04437s} ; \end{aligned} \right. \quad (3)$$

s représente le nombre d'intervalles spectraux comptés à partir du type G_5 , positivement vers les types A; les formules (3) traduisent d'ailleurs des courbes très simples².

On construit alors, au moyen des formules (2) et (3), le tableau des valeurs de l'index de couleur.

¹ *Archives* (5), 10, p. 363 (1928); *Publ. de l'Obs. de Genève*, fasc. 6.

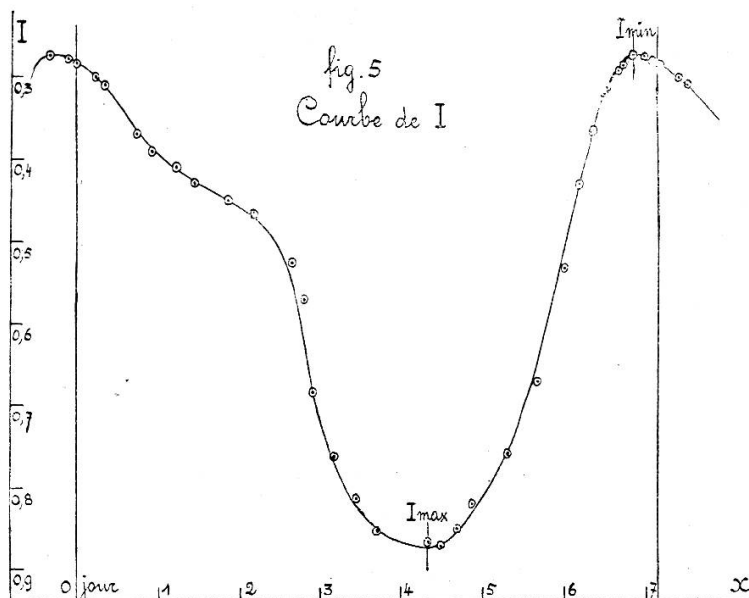
² *Archives* (5), 10, p. 363 (1928); *Publ. de l'Obs. de Genève*, fasc. 6.

| Plaque | Phase | Spectre | log R | M_v | $- \alpha$ | $-(C_v + x_v)$ | I | I (courbe) |
|-------------------|-------|--------------------------------|----------|-------------------|------------|----------------|-------|---------------|
| | d | | | | | | | |
| E 15 | 0,246 | A ₉ | 1,19257 | — 2,29 | 0,652 | 0,24 | 0,303 | |
| 113 | 0,360 | A ₉ | 1,19728 | — 2,28 | 0,652 | 0,24 | 0,310 | |
| 122 | 0,756 | F ₀ | 1,22037 | — 2,19 | 0,650 | 0,27 | 0,370 | |
| 62 | 0,914 | F? | 1,22686 | — 2,16 | 0,650 | 0,28 | 0,388 | |
| 118 | 1,104 | F ₁ | 1,23679 | — 2,15 | 0,649 | 0,29 | 0,406 | |
| 13 | 1,446 | F? | 1,25139 | — 2,14 | 0,649 | 0,30 | 0,429 | |
| 105 | 1,873 | F ₁₋₂ | 1,26364 | — 2,13 | 0,648 | 0,31 | 0,450 | |
| 19 | 2,193 | F ₂ | 1,27277 | — 2,12 | 0,647 | 0,32 | 0,466 | |
| 107 _I | 2,657 | F ₅₋₄ | 1,28240 | — 2,07 | 0,640 | 0,44 | 0,525 | 0,540 |
| 29 | 2,798 | F ₇ | 1,28330 | — 2,03 | 0,631 | 0,54 | 0,568 | 0,620 |
| 106 | 2,893 | G ₁₋₂ | 1,28421 | — 1,95 | 0,606 | 0,87 | 0,685 | |
| 21 | 3,187 | G ₃ ? | 1,28533 | — 1,87 | 0,595 | 1,02 | 0,757 | 0,760 |
| R max. | 3,440 | (G ₄) | 1,28578 | — 1,83 | 0,588 | 1,14 | 0,812 | 0,825 |
| 107 _{II} | 3,696 | G ₅ | 1,28533 | — 1,80 | 0,580 | 1,27 | 0,853 | |
| 114 | 4,331 | G ₅ | 1,28126 | — 1,76 | 0,580 | 1,27 | 0,865 | 0,880 |
| 47 | 4,470 | G ₅ | 1,27967 | — 1,73 | 0,580 | 1,27 | 0,870 | |
| 108 | 4,672 | G ₄₋₅ | 1,27738 | — 1,71 | 0,584 | 1,19 | 0,850 | |
| Min. lum. | 4,864 | G ₄ | 1,27184 | — 1,70 | 0,588 | 1,10 | 0,818 | |
| 116 | 5,325 | G ₃ | 1,25066 | — 1,72 | 0,595 | 1,02 | 0,760 | |
| 109 | 5,672 | G ₂₋₁ | 1,22789 | — 1,78 | 0,606 | 0,87 | 0,670 | 0,640 |
| 120 | 6,007 | F ₉ | 1,20030 | — 1,93 | 0,621 | 0,65 | 0,534 | 0,510 |
| 101 | 6,182 | F ₅ | 1,18921 | — 2,03 | 0,640 | 0,44 | 0,428 | |
| 117 | 6,346 | F ₂₋₃ | 1,17783 | — 2,09 | 0,646 | 0,34 | 0,364 | |
| 112 | 6,508 | F ₀ | 1,17085 | — 2,15 | 0,650 | 0,27 | 0,320 | |
| 51 | 6,524 | F ₀ | 1,16879 | — 2,17 | 0,650 | 0,27 | 0,312 | |
| 111 | 6,690 | F ₀ -A ₉ | 1,16643 | — 2,21 | 0,651 | 0,25 | 0,294 | |
| R min. | 6,720 | (A ₉) | 1,16613 | — 2,22 | 0,652 | 0,24 | 0,287 | |
| 45 | 6,681 | A ₈ | 1,16791 | — 2,26 | 0,653 | 0,22 | 0,273 | |
| 121 | 6,998 | A ₉ | 1,17114 | — 2,29 | 0,652 | 0,24 | 0,276 | |
| 103 | 7,111 | A ₉ | 1,17493 | -2,30+ ϵ | 0,652 | 0,24 | 0,280 | |
| 23 | 7,174 | A ₉ | 1,17898 | — 2,30 | 0,652 | 0,24 | 0,283 | |
| Max. lum. | 7,176 | A ₉ | (courbe) | — 2,30 | — | — | 0,285 | |

L'index de couleur moyen est donc $I_m = 0,57$; et la courbe de variation de I est donnée par la figure 5.

Le max. de I (0,872) se présente à la phase 4^d,3 (ce qui correspond à $q = 0,88$); le min. de I coïncide à peu près avec E 45, à la phase 6^d,950.

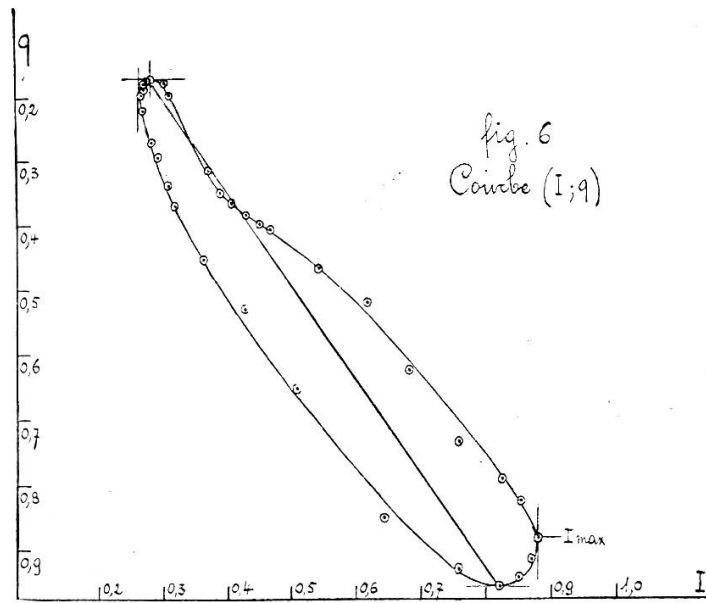
Le max. de I précède donc le minimum de lumière de 0^d,5 environ; le min. de I précède le maximum de lumière de 0^d,23 environ.



16. — *Courbe (I; q).* — Des « numéros » 8 et 15, on tire le tableau numérique suivant:

| Plaque | Courbe q | Courbe I | | Plaque | Courbe q | Courbe I |
|-------------------|----------|----------|--------------|--------|----------|----------|
| E 15 | 0,174 | 0,303 | Min. lum. | 108 | 0,940 | 0,850 |
| 113 | 0,195 | 0,310 | | 146 | 0,957 | 0,818 |
| 122 | 0,315 | 0,370 | | 116 | 0,928 | 0,760 |
| 62 | 0,350 | 0,388 | | 109 | 0,850 | 0,640 |
| 118 | 0,365 | 0,406 | | 120 | 0,650 | 0,510 |
| 13 | 0,380 | 0,429 | | 101 | 0,525 | 0,428 |
| 105 | 0,398 | 0,450 | | 117 | 0,450 | 0,364 |
| 19 | 0,405 | 0,466 | | 112 | 0,365 | 0,320 |
| 107 _I | 0,466 | 0,540 | | 51 | 0,335 | 0,312 |
| 29 | 0,520 | 0,620 | | 111 | 0,290 | 0,294 |
| 106 | 0,625 | 0,685 | | R min. | 0,272 | 0,287 |
| 21 | 0,730 | 0,760 | | 45 | 0,220 | 0,273 |
| R max. | 0,790 | 0,825 | | I min. | 0,197 | 0,272 |
| 107 _{II} | 0,825 | 0,853 | | 121 | 0,190 | 0,276 |
| I max. 114 | 0,880 | 0,880 | | 103 | 0,175 | 0,280 |
| 47 | 0,912 | 0,870 | 23 | 0,171 | 0,283 | |
| | | | Max. lum. | 0,170 | 0,285 | |

auquel correspond la courbe (I; q) de la figure 6 (p. suivante).



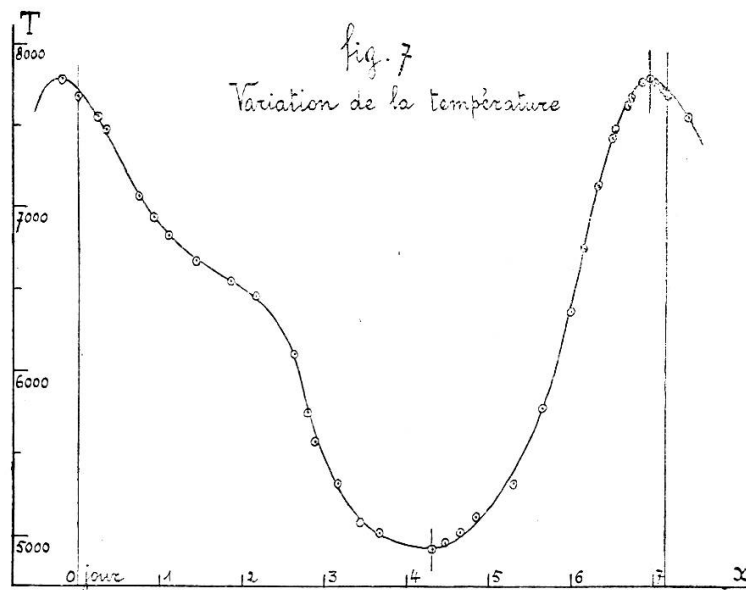
§ 5. — VARIATION DE LA TEMPÉRATURE T.

17. — La formule utilisée ici est la suivante ¹:

$$T = \frac{7200}{I - \alpha}, \tag{1}$$

avec:

$$\alpha = -\log \left[3,77 + 0,08s \cdot \left(\frac{3}{4}\right)^{\frac{s-5}{5}} \right]; \tag{3}$$



¹ Archives (5), 10, p. 363 (1928); Publ. de l'Obs. de Genève, fasc. 6.

nous avons indiqué au numéro 15 la signification de l'argument s .

Voici le tableau des résultats:

| Plaque | Phase | I | $-\alpha$ | T | Plaque | Phase | I | $-\alpha$ | T |
|------------------|------------|-------|-----------|------|-------------|------------|-------|-----------|------|
| E 15 | d 0,246 | 0,300 | 0,652 | 7563 | 108 | d 4,672 | 0,850 | 0,584 | 5021 |
| 113 | 0,360 | 0,310 | 0,652 | 7485 | Min. l. 146 | 4,864 | 0,818 | 0,588 | 5121 |
| 122 | 0,756 | 0,370 | 0,650 | 7059 | 116 | 5,325 | 0,760 | 0,595 | 5314 |
| 62 | 0,914 | 0,388 | 0,650 | 6937 | 109 | 5,672 | 0,640 | 0,606 | 5779 |
| 118 | 1,104 | 0,406 | 0,649 | 6825 | 120 | 6,007 | 0,510 | 0,621 | 6366 |
| 13 | 1,446 | 0,429 | 0,649 | 6679 | 101 | 6,182 | 0,428 | 0,640 | 6741 |
| 105 | 1,873 | 0,450 | 0,648 | 6558 | 117 | 6,346 | 0,364 | 0,646 | 7129 |
| 19 | 2,193 | 0,466 | 0,647 | 6469 | 112 | 6,508 | 0,320 | 0,650 | 7423 |
| 107 ₁ | 2,657 | 0,540 | 0,640 | 6102 | 51 | 6,524 | 0,312 | 0,650 | 7485 |
| 29 | 2,798 | 0,620 | 0,631 | 5755 | 111 | 6,690 | 0,294 | 0,651 | 7619 |
| 106 | 2,893 | 0,685 | 0,606 | 5577 | R min. | 6,720 | 0,287 | 0,652 | 7668 |
| 21 | 3,187 | 0,760 | 0,595 | 5314 | 45 | 6,861 | 0,273 | 0,653 | 7775 |
| R max. | 3,440 | 0,825 | 0,588 | 5096 | I min. | 6,950 | 0,272 | 0,653 | 7784 |
| 107 ₂ | 3,696 | 0,853 | 0,580 | 5024 | 121 | 6,998 | 0,276 | 0,652 | 7759 |
| max. 114 | 4,331 | 0,880 | 0,580 | 4932 | 103 | 7,111 | 0,280 | 0,652 | 7725 |
| 47 | 4,470 | 0,870 | 0,580 | 4966 | 23 | 7,174 | 0,283 | 0,652 | 7700 |
| | | | | | Max. lum. | 7,176 | 0,285 | 0,652 | 7684 |

On en tire la courbe de la figure 7:

§ 6. — VARIATION DE LA PRESSION P.

18. — Le calcul peut se faire au moyen des formules suivantes ¹:

$$\frac{T^4}{T_1^4} = \frac{1 - \beta}{1 - \beta_1} \cdot \frac{P}{P_1} = \gamma \cdot \frac{P}{P_1} ;$$

$$\frac{1 - \beta}{1 - \beta_1} = \frac{L}{L_1} = \gamma ;$$

$$\log \frac{L}{L_1} = 0,4 (m_1 - m) ;$$

où les différence ($m_1 - m$) sont connues par le tableau du numéro 9; l'indice (1) se rapporte au maximum de lumière.

¹ *Archives* (5), 10 p. (1928); *Publ. de l'Obs. de Genève*, fasc. 2.

19. — *Calcul de $\log \frac{1}{\gamma}$.*

| Plaque | m | $m_1 - m$ | $\log \frac{1}{\gamma}$ |
|-------------------|------|-----------|-------------------------|
| Max. lum. | 3,70 | 0 | 0 |
| E 15 | 3,71 | — 0,01 | 0,004 |
| 113 | 3,72 | — 0,02 | 0,008 |
| 122 | 3,81 | — 0,11 | 0,044 |
| 62 | 3,84 | — 0,14 | 0,056 |
| 118 | 3,85 | — 0,15 | 0,060 |
| 13 | 3,86 | — 0,16 | 0,064 |
| 105 | 3,87 | — 0,17 | 0,068 |
| 19 | 3,88 | — 0,18 | 0,072 |
| 107 _I | 3,93 | — 0,23 | 0,092 |
| 29 | 3,97 | — 0,27 | 0,108 |
| 106 | 4,05 | — 0,35 | 0,140 |
| 21 | 4,13 | — 0,43 | 0,172 |
| R max. | 4,16 | — 0,46 | 0,184 |
| 107 _{II} | 4,20 | — 0,50 | 0,200 |
| I max. 114 | 4,24 | — 0,54 | 0,216 |
| 47 | 4,27 | — 0,57 | 0,228 |

| Plaque | m | $m_1 - m$ | $\log \frac{1}{\gamma}$ |
|-------------|----------------------|-----------------|-------------------------|
| 108 | 4,29 | — 0,59 | 0,236 |
| Min. l. 146 | 4,30 | — 0,60 | 0,240 |
| 116 | 4,28 | — 0,58 | 0,232 |
| 109 | 4,22 | — 0,52 | 0,208 |
| 120 | 4,07 | — 0,37 | 0,148 |
| 101 | 3,97 | — 0,27 | 0,108 |
| 117 | 3,91 | — 0,21 | 0,084 |
| 112 | 3,85 | — 0,15 | 0,060 |
| 51 | 3,83 | — 0,13 | 0,052 |
| 111 | 3,79 | — 0,09 | 0,036 |
| R min. | 3,78 | — 0,08 | 0,032 |
| 45 | 3,74 | — 0,04 | 0,016 |
| I min. | 3,72 | — 0,02 | 0,008 |
| 121 | 3,71 | — 0,01 | 0,004 |
| 103 | 3,70 + ε | — ε | 0,001 |
| 23 | 3,70 | 0 | 0 |
| Max. lum. | 3,70 | 0 | 0 |

20. — *Calcul de P en fonction de P_1 .* — La formule reliant les températures et les pressions s'écrit:

$$P = \frac{1}{\gamma} \cdot \left(\frac{T}{T_1} \right)^4 \cdot P_1 ; \quad (4)$$

elle conduit aux valeurs suivantes du rapport $\frac{P}{P_1}$: (tableau page suivante)

21. — *Calcul de P_1 .* — La loi de Stephan-Boltzmann donne:

$$(p_r)_1 = \frac{\sigma}{3} T_1^4 ; \quad \sigma = (1,374) \cdot 10^{-12} \text{ unités C.G.S. ;}$$

$$(p_r)_1 = \frac{(1,374) \cdot 10^{-12} \cdot (7684)^4}{3} = 1596 \text{ unités C.G.S. ;}$$

et comme la masse de η Aquilae vaut environ $\mu = 6,1$ (voir n° 10), on a, d'après la théorie de M. Eddington:

$$\beta_1 = 0,541 ;$$

| Plaque | $\log \frac{1}{\gamma}$ | $\log T$ | $\log \frac{P}{P_1}$ | $\frac{P}{P_1}$ |
|-------------------|-------------------------|----------|----------------------|-----------------|
| Max. lum. | 0 | 3,88559 | 0 | 1 |
| E 15 | 0,004 | 3,87869 | $\overline{1,97640}$ | 0,9470 |
| 113 | 0,008 | 3,87419 | $\overline{1,96240}$ | 0,9170 |
| 122 | 0,044 | 3,84874 | $\overline{1,89700}$ | 0,7890 |
| 62 | 0,056 | 3,84117 | $\overline{1,87832}$ | 0,7557 |
| 118 | 0,060 | 3,83410 | $\overline{1,85404}$ | 0,7150 |
| 13 | 0,064 | 3,82471 | $\overline{1,82048}$ | 0,6614 |
| 105 | 0,068 | 3,81677 | $\overline{1,79272}$ | 0,6205 |
| 19 | 0,072 | 3,81084 | $\overline{1,77300}$ | 0,5930 |
| 107 _I | 0,092 | 3,78547 | $\overline{1,69152}$ | 0,4915 |
| 29 | 0,108 | 3,76005 | $\overline{1,60584}$ | 0,4035 |
| 106 | 0,140 | 3,74640 | $\overline{1,58324}$ | 0,3831 |
| 21 | 0,172 | 3,72542 | $\overline{1,53132}$ | 0,3400 |
| R. max. | 0,184 | 3,70723 | $\overline{1,47056}$ | 0,2955 |
| 107 _{II} | 0,202 | 3,70105 | $\overline{1,46384}$ | 0,2910 |
| I. max. 114 | 0,216 | 3,69302 | $\overline{1,44572}$ | 0,2791 |
| 47 | 0,228 | 3,69601 | $\overline{1,46968}$ | 0,2949 |
| 108 | 0,236 | 3,70079 | $\overline{1,49680}$ | 0,3139 |
| Min. lum. 146 | 0,240 | 3,70935 | $\overline{1,53504}$ | 0,3428 |
| 116 | 0,232 | 3,72542 | $\overline{1,59132}$ | 0,3902 |
| 109 | 0,208 | 3,76170 | $\overline{1,71244}$ | 0,5158 |
| 120 | 0,148 | 3,80387 | $\overline{1,82112}$ | 0,6624 |
| 101 | 0,108 | 3,82872 | $\overline{1,88052}$ | 0,7595 |
| 117 | 0,084 | 3,85303 | $\overline{1,95376}$ | 0,8990 |
| 112 | 0,060 | 3,87058 | $\overline{1,99996}$ | 0,9999 |
| 51 | 0,052 | 3,87419 | 0,00640 | 1,0148 |
| 111 | 0,036 | 3,88190 | 0,02124 | 1,0501 |
| R. min. | 0,032 | 3,88468 | 0,02836 | 1,0675 |
| 45 | 0,016 | 3,89070 | 0,03644 | 1,0876 |
| I min. | 0,008 | 3,89120 | 0,03044 | 1,0726 |
| 121 | 0,004 | 3,88981 | 0,02088 | 1,0493 |
| 103 | 0,001 | 3,88790 | 0,01024 | 1,0239 |
| 23 | 0,000 | 3,88649 | 0,00360 | 1,0083 |
| Max. lum. | 0,000 | 3,88559 | 0 | 1 |

d'où:

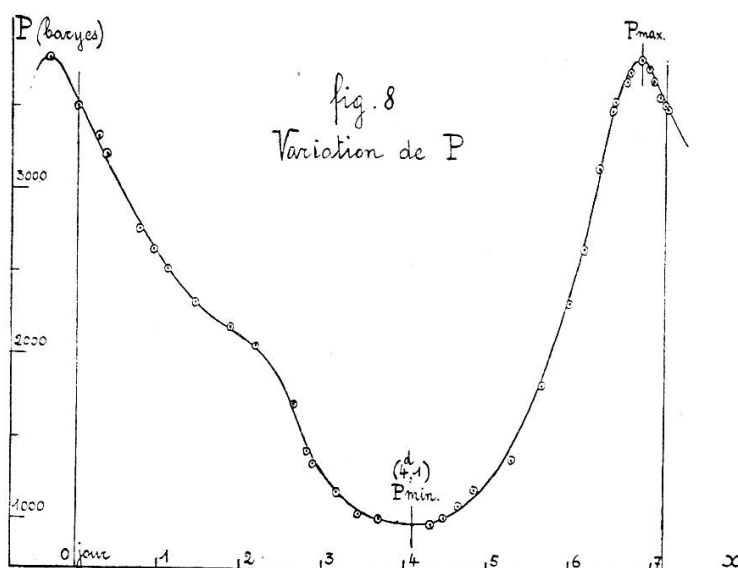
$$P_1 = \frac{(p_r)_1}{1 - \beta_1} = \frac{1596}{1 - 0,541} = \frac{1596}{0,459} = 3477 \text{ baryes ;}$$

$$P_1 = \text{atm. } 0,0035 \text{ environ .}$$

22. — Variation de P.

| Plaque | Phase | P (atm.) | Plaque | Phase | P (atm.) |
|-------------------|-------|----------|-----------|-------|----------|
| Max. lum. | d | 0,003500 | 108 | d | 0,001099 |
| E 15 | 0,246 | 0,003314 | M. l. 146 | 4,864 | 0,001200 |
| 113 | 0,360 | 0,003210 | 116 | 5,325 | 0,001366 |
| 122 | 0,756 | 0,002762 | 109 | 5,672 | 0,001805 |
| 62 | 0,914 | 0,002645 | 120 | 6,007 | 0,002318 |
| 118 | 1,104 | 0,002503 | 101 | 6,182 | 0,002658 |
| 13 | 1,446 | 0,002315 | 117 | 6,346 | 0,003147 |
| 105 | 1,873 | 0,002172 | 112 | 6,508 | 0,003500 |
| 19 | 2,193 | 0,002076 | 51 | 6,524 | 0,003552 |
| 107 _I | 2,657 | 0,001720 | 111 | 6,690 | 0,003675 |
| 29 | 2,798 | 0,001412 | R. min. | 6,720 | 0,003736 |
| 106 | 2,893 | 0,001341 | 45 | 6,861 | 0,003807 |
| 21 | 3,187 | 0,001190 | I min. | 6,950 | 0,003754 |
| R max. | 3,440 | 0,001034 | 121 | 6,998 | 0,003673 |
| 107 _{II} | 3,696 | 0,001019 | 103 | 7,111 | 0,003584 |
| I max. 114 | 4,331 | 0,000977 | 23 | 7,174 | 0,003529 |
| 47 | 4,470 | 0,001032 | Max. lum. | 7,176 | 0,003500 |

Cette variation de P est représentée par la figure 8.



Les faibles pressions se trouvent dans le voisinage de I_{\max} , tandis que les pressions les plus fortes correspondent aux phases voisines de celle de I_{\min} .

§ 7. — COURBE DE LUMIÈRE PHOTOGRAPHIQUE.

23.— Les valeurs que nous avons trouvées pour la magnitude m_v et pour l'index de couleur I donnent, par application de la relation:

$$m_p = m_v + I,$$

les valeurs correspondantes de la magnitude photographique. On obtient:

| Plaque | Courbe m_v | I | m_p | Plaque | Courbe m_v | I | m_p |
|-------------------|------------------|------|-------|---------------|------------------|------|------------------|
| Max. lum. | <i>m</i> 3,70 | 0,29 | 3,99 | 108 | <i>m</i> 4,29 | 0,85 | 5,14 |
| E 15 | 3,71 | 0,30 | 4,01 | Min. lum. 146 | 4,30 | 0,82 | 5,12 |
| 113 | 3,72 | 0,31 | 4,03 | 116 | 4,28 | 0,76 | 5,04 |
| 122 | 3,81 | 0,37 | 4,18 | 109 | 4,22 | 0,64 | 4,86 |
| 62 | 3,84 | 0,39 | 4,23 | 120 | 4,07 | 0,51 | 4,58 |
| 118 | 3,85 | 0,41 | 4,26 | 101 | 3,97 | 0,43 | 4,40 |
| 13 | 3,86 | 0,43 | 4,29 | 117 | 3,91 | 0,36 | 4,27 |
| 105 | 3,87 | 0,45 | 4,32 | 112 | 3,85 | 0,32 | 4,17 |
| 19 | 3,88 | 0,47 | 4,35 | 51 | 3,83 | 0,31 | 4,14 |
| 107 _I | 3,93 | 0,54 | 4,47 | 111 | 3,79 | 0,29 | 4,08 |
| 29 | 3,97 | 0,62 | 4,59 | R min. | 3,78 | 0,29 | 4,07 |
| 106 | 4,05 | 0,69 | 4,74 | 45 | 3,74 | 0,27 | 4,01 |
| 21 | 4,13 | 0,76 | 4,89 | I min. | 3,72 | 0,27 | 3,99 |
| R max. | 4,17 | 0,83 | 5,00 | 121 | 3,71 | 0,28 | 3,99 |
| 107 _{II} | 4,20 | 0,85 | 5,05 | 103 | 3,70+ ϵ | 0,28 | 3,98+ ϵ |
| 114 | 4,24 | 0,88 | 5,12 | 23 | 3,70 | 0,28 | 3,98 |
| 47 | 4,27 | 0,87 | 5,14 | Max. lum. | 3,70 | 0,28 | 3,98 |

L'amplitude du changement de magnitude photographique est ainsi égale à $5,14 - 3,99 = 1,15$.

M. A. Kohlschütter¹ trouve $5,99 - 4,90 = 1,09$; on voit qu'il y a accord satisfaisant quant à l'amplitude photographique, qui peut être considérée comme égale à $1^m,1$ à très peu près; par contre, il y a un décalage systématique des valeurs de m_p ; celles de M. A. Kohlschütter sont d'environ $0^m,9$ supérieures à celles du tableau précédent.

¹ *Astronomische Nachrichten* 4385.